



Comparison of the Effect of Nanocellulose and Nanosilica on the Properties of Packaging Cardboard Made from Waste White Pulp

Jafar Ebrahimpour-Kasmani* , Ahmad Samariha , Abdolah Alizadeh

*Associate Professor, Department of Wood and Paper Science & Technology, Savadkoo Branch, Islamic Azad University, Savadkoo, Iran

(Received: 26/04/2024, Revised: 15/05/2024, Accepted: 21/08/2024, Published: 15/09/2024)

DOR: 10.1001.1.22286675.1403.15.58.4.5

ABSTRACT

The aim of this study was to compare the effect of nanocellulose and nanosilica on the properties of packaging cardboard made from waste white pulp. In this study, waste pulp was transferred to the laboratory. Handsheet cardboard was made of 60 g.m⁻² with 4 and 8% nano-silica condition, and nanocellulose and cationic starch at 1.5% level. Finally, the physical, mechanical and morphological properties of the prepared cardboard were tested according to the TAPPI standards and compared with each other. The results showed that 4% cellulose nanofibers and 1.5% cationic starch had 2.5, 14.1, 46.9, 35.9, 9.5, 8.9, 20.5 and 5.1%, respectively, water absorption, surface smoothness, tensile strength index, burst resistance index, tensile strength index, brightness, whiteness and opacity more than 4% cellulosic nanofibers and have 30.9%, 19.3% of air resistance, and fewer yellowness than 4% cellulose nanofibers. 8% cellulose nanofibers and 1.5% cationic starch have 16.1%, 43.7%, 7.6%, 21.3%, 10.7%, 6.1%, 1.1%, 6.6% of water absorption, air resistance, tensile strength index, burst strength index, tear strength index, brightness, whiteness and opacity are higher than 8% cellulose nanofibers and have 36.2 and 23.1% surface fines, respectively, and fewer yellowness than 4% of cellulosic nanofibers. 4% nano-silica and 1.5% cationic starch have 8.1%, 18.3%, 34.1% and 6.9% surface smoothness, whiteness and opacity, more than 4% nano-silica, respectively, with 10.1% 13.1, 10.8, 1.5, 9.9 and 75.2% water absorption, tensile strength index, burst strength index, tear strength index, brightness and fewer yellowness than 4% nano-silica. 8% nanosilica and 1.5% cationic starch have 1, 14.7, 40.2 and 6.7% water absorption, air resistance, whiteness and opacity are more than 8% nano-silica, respectively, and have 5.2, 36.3, 69.3, 74.5, 5.1, and 14.8 percent surface smoothness, tensile strength index, burst strength index, tear strength index, brightness and fewer yellowness than 8% nano-silica. The results showed that the use of cellulose nanofibers is more preferable, and it can be important because it leads to a decrease in imports.

Keywords: White Cardboard, Cellulose Nanofibers, Nano-Silica, Cationic Starch

This article is an open-access article distributed under the terms and conditions of the Creative Commons Attribution (CC BY) license.

Publisher: Imam Hussein University

Authors



* Corresponding Author Email: jafar_kasmani@yahoo.com

مقایسه تاثیر نانوسلولز و نانو سیلیکا روی ویژگی‌های مقواهی بسته‌بندی ساخته شده از خمیر سفید

ضایعاتی

جعفر ابراهیم‌پور کاسمانی^{۱*} ، احمد ثمریها^۲، عبدالله علیزاده^۳

۱- دانشیار، گروه مهندسی چوب و کاغذ، واحد سوادکوه، دانشگاه آزاد اسلامی، سوادکوه، ایران ۲- استادیار، گروه صنایع چوب، دانشگاه ملی

مهارت، تهران، ایران ۳- استادیار، گروه کشاورزی، واحد سوادکوه، دانشگاه آزاد اسلامی، سوادکوه، ایران

DOR: 20.1001.1.22286675.1403.15.58.4.5

تاریخ پذیرش: ۱۴۰۳/۰۵/۳۱

تاریخ دریافت: ۱۴۰۳/۰۲/۰۷

تاریخ انتشار: ۱۴۰۳/۰۶/۲۵

تاریخ بازنگری: ۱۴۰۳/۰۲/۲۶

چکیده

این بررسی با هدف مقایسه تاثیر نانوسلولز و نانو سیلیکا روی ویژگی‌های مقواهی ساخته شده از خمیر سفید ضایعاتی انجام شد. برای این منظور خمیر کاغذ سفید، از کارخانه کاغذسازی اترک تهیه و با افودن ۴ و ۸ درصد نانوالیاف سلولز و نانو سیلیکا بصورت خالص، و این ترکیبات با ۱/۵ درصد نشاسته کاتیونی کاغذ دست ساز تهیه و مورد آزمون‌های فیزیکی، مکانیکی و بررسی ریخت‌شناسی قرار گرفتند. نتایج نشان داد ۴ درصد نانوالیاف سلولزی و ۱/۵ درصد نشاسته کاتیونی به ترتیب دارای ۲/۵، ۱۴/۱، ۳/۵/۹، ۴۶/۹، ۸/۹، ۹/۵ و ۵/۱ درصد جذب آب، صافی سطح، شاخص مقاومت به کشش، شاخص مقاومت به ترکیدن، شاخص مقاومت به پاره شدن، روشی، سفیدی و ماتی بیشتر نسبت به ۴ درصد نانوالیاف سلولزی است و به ترتیب دارای ۳۰/۹، ۱۹/۳، ۴۳/۷، ۷/۶، ۲۱/۳، ۱۰/۷، ۶/۱ و ۱/۵ درصد جذب آب، مقاومت به عبور هوا، شاخص مقاومت به کشش، شاخص مقاومت به ترکیدن، شاخص مقاومت به پاره شدن، روشی، سفیدی و ماتی بیشتر نسبت به ۸ درصد نانوالیاف سلولزی و ۱/۵ درصد نشاسته کاتیونی به ترتیب دارای ۱۶/۱، ۴۳/۷، ۷/۶، ۱۰/۷، ۲۱/۳، ۱۱/۶/۱، ۱۰/۷ و ۶/۶ درصد جذب آب، مقاومت به عبور هوا، شاخص مقاومت به کشش، شاخص مقاومت به ترکیدن، شاخص مقاومت به پاره شدن، روشی، سفیدی و ماتی بیشتر نسبت به ۸ درصد نانوالیاف سلولزی است و به ترتیب دارای ۳۶/۲ و ۲۲/۱ درصد صافی سطح، وزردی کمتر نسبت به ۴ درصد نانوالیاف سلولزی است. ۴ درصد نانو سیلیکا و ۱/۵ درصد نشاسته کاتیونی به ترتیب دارای ۱، ۱۸/۳، ۳/۴/۱ و ۶/۹ درصد صافی سطح، سفیدی و ماتی بیشتر نسبت به ۴ درصد نانو سیلیکا است و به ترتیب دارای ۱۰/۱، ۱۳/۱، ۱۰/۸، ۹/۹ و ۹/۵ درصد جذب آب، شاخص مقاومت به کشش، شاخص مقاومت به ترکیدن، شاخص مقاومت به پاره شدن، روشی و وزردی کمتر نسبت به ۴ درصد نانو سیلیکا است. ۸ درصد نانو سیلیکا و ۱/۵ درصد نشاسته کاتیونی به ترتیب دارای ۱، ۱۴/۷، ۴۰/۲ و ۶/۷ درصد جذب آب، مقاومت به عبور هوا، سفیدی و ماتی بیشتر نسبت به ۸ درصد نانو سیلیکا است و به ترتیب دارای ۳/۶، ۵/۲، ۶۹/۳، ۷۴/۵ و ۵/۱ درصد صافی سطح، شاخص مقاومت به کشش، شاخص مقاومت به ترکیدن، شاخص مقاومت به پاره شدن، روشی و وزردی کمتر نسبت به ۸ درصد نانو سیلیکا است. نتایج نشان داد استفاده از نانو الیاف سلولزی ارجحیت بالاتری دارد، و به جهت اینکه منجر به کاهش واردات می‌گردد می‌تواند حائز اهمیت باشد.

کلیدواژه‌ها: مقواهی سفید، نانوالیاف سلولز، نانو سیلیکا، نشاسته کاتیونی

کمتر آن‌ها نسبت به خمیر کاغذ دست اول نسبت داده شده است

[۱]، خمیر کاغذهای بازیافتی از قابلیت زهکش و سرعت آب‌گیری ضعیف و همچنین مقاومت کم در مقایسه با خمیر کاغذ دست اول برخوردار می‌باشند. بنابراین استفاده از آن‌ها در کاغذسازی موجب افت ویژگی‌های کیفی کاغذ نهایی می‌شود. ویژگی‌های ضعیف الیاف بازیافتی عمده‌تاً به دلیل تغییرات ساختاری الیاف در طی خشک کردن است. با توجه به تغییرات ویژگی‌های فیزیکی و شیمیایی الیاف در کاغذسازی و بازیافت به دلیل شرایط عملیات خمیرسازی و خشک کردن در کاغذسازی، ویژگی‌های مرفولوژیک الیاف مثل قابلیت واکنشیدگی، ضعیف شده و این در نهایت منجر به کاهش مقاومت کلی الیاف بازیافتی می‌شود [۱]. همچنین

۱- مقدمه

امروزه در بسیاری از کشورهای جهان به دلیل محدودیت منابع خام سلولزی و مصرف روزافزون کاغذ، بازیافت کاغذ شدیداً مورد توجه قرار گرفته است. استفاده از الیاف بازیافتی به لحاظ اقتصادی و زیستمحیطی به عنوان یک منبع سلولزی برای تولید کاغذ و مقوا بسیار مطلوب است اما محدودیت عمدۀ این منابع به مقاومت

* رایانه نویسنده مسئول: jafar_kasmani@yahoo.com



به دست آمد [۱۰]. مهمترین ویژگی‌های این ماده که باعث مورد توجه قرار گرفتن آن شده است، شامل وزن سبک، ساختار شبکه‌ای، تجدیدپذیری، زیست تخریب پذیری، سختی و مقاومت زیاد، شفافیت، ظرفیت جذب آب بالا، اصلاح کننده خواص رئولوژیکی، سطح ویژه و نسبت منظر زیاد، واکنش پذیری زیاد و ویژگی‌های ممانعتی می‌باشد [۱۱]. برای تولید سلولز نانوفیبریله از منابع سلولزی مختلف استفاده می‌شود. مهمترین منبع صنعتی الیاف سلولزی و منبع اصلی استفاده شده برای تولید NFC، چوب می‌باشد.

در سال‌های اخیر مطالعات زیادی بر استفاده از نانوالیاف سلولزی^۴ (CNF) به عنوان مقاومت دهنده جهت بهبود خواص فیزیکی و مکانیکی انجام شده است. CNF قابلیت ایجاد شبکه‌ای از پیوندهای عرضی را در سوسپانسیون‌های سیار رقیق آبی دارد [۸]. گزارش شده است که حضور CNF در دوغاب الیاف باعث افزایش مقاومت کششی و همچنین باعث کاهش تخلخل در کاغذ نهایی می‌گردد [۱۱]. در همین ارتباط، Fukuzumi و همکاران (۲۰۰۸)، نشان داده‌اند که CNF می‌تواند بصورت شبکه‌فیبری کامل با تخلخل بسیار ریز شکل بگیرد که در آن قابلیت عبور هوا در آن به شدت کاهش می‌یابد [۱۲]. همچنین در تحقیقی دیگر، نانوالیاف سلولزی به سوسپانسیون خمیرکاغذ پالایش نشده و خمیرکاغذ با پالایش جزئی اضافه کردن و نتیجه گرفته که افزودن نانوالیاف سلولزی به خمیرکاغذ با پالایش جزئی اثر بیشتری نسبت به افزودن نانوالیاف به خمیرکاغذ پالایش نشده داشت به نحوی که خواص مشابه به خواص کاغذ چاپ و تحریر مشاهده گردید. به عبارت دیگر، این نتایج نشان داد که اضافه کردن CNF تا حدودی توانست جایگزین پالایش الیاف گردد [۱۱].

استفاده از الیاف ضایعاتی اثرات مخرب برداشت بیش از اندازه چوب را از جنگل‌ها کاهش می‌دهد، ولی ویژگی‌های فیزیکی و مقاومتی مناسب، با ساخت کاغذ از آن حاصل نمی‌شود. دفعات زیاد بازیافت معمولاً^۱ روی ویژگی‌های الیاف ضایعاتی کاغذ سفید تاثیر منفی گذاشته و در نهایت مقاومت کاغذ افت پیدا می‌کند. برای جبران این کاستی‌ها برای تولید این مقوای در کنار الیاف ضایعاتی از الیاف بلند و یا الیاف دست اول پهنه برگان وارداتی نیز استفاده می‌گردد. اما تهیه این الیاف علاوه بر اینکه از لحظه اقتصادی برای کارخانه مشکلاتی ایجاد می‌کند، تهیه آن برخی موقع به دلایل سیاسی به سختی امکان پذیر است. بنابراین هدف اصلی این پژوهش بررسی امکان‌سنجی استفاده از نانوسلیکا و نانوالیاف سلولزی است.

آلودگی‌ها و تخریب ناشی از سن کاغذ نیز می‌تواند در مقاومت کم الیاف بازیافتی مؤثر باشد [۲]، قابلیت گذر^۲ کاغذ در ماشین کاغذ نیز می‌تواند با توجه به قابلیت زهکش ضعیف^۳ خمیرکاغذ بازیافتی بهطور منفی تحت تأثیر قرار گیرد. لذا تقویت ویژگی‌های کیفی خمیرکاغذهای بازیافتی باید بیشتر مورد توجه قرار گیرد [۳]. افزودن نشاسته کاتیونی به خمیرکاغذ بازیافتی موجب بهبود اتصال بین الیاف شده در نتیجه به احیای نقاط ازدست رفته سطح الیاف و بهبود ویژگی‌های مقاومت کاغذ حتی تا حد خمیرکاغذ دست اول کمک می‌کند. نتایج آزمایش‌های به عمل آمده نشان داده است که نشاسته کاتیونی به دلیل دارا بودن پلیمرهای کاتیونی، مؤثرتر و قوی‌تر از سایر افزودنی‌ها بوده و علاوه بر نقش تکمیلی در نگهداری مواد دوغاب، موجب بهبود آبگیری خمیرکاغذ می‌شود [۴].

از ذرات نانو سیلیس به عنوان رویه، به منظور افزایش پیوند الیاف به زمینه استفاده می‌شود [۵]. رویه طوری انتخاب می‌شود که با تقویت کننده و زمینه، سازگاری داشته باشد. غالباً مولکول‌های دارای دو گروه عاملی متفاوت در دو انتهای، این منظور را برآورده می‌سازند. رویه مناسب برای الیاف شیشه و اپوکسی ممکن است در یک انتهای، ترکیبی از گروه‌های آلی سیلیسیم سازگار با شیشه و در انتهای دیگر ترکیبی از یک آمین مکانیکی چندسازه‌ها را فراهم آورند [۶].

تحقیقات فراوانی تاکنون در زمینه کاربرد نانو الیاف سلولزی برای تولید فرآورده‌های کاغذی گزارش شده است. نانو الیاف سلولزی در کاغذسازی در هر دو بخش تر و خشک می‌تواند به کار گرفته شود. به دلیل سطح ویژه و نسبت طول به قطر زیاد نانو الیاف سلولزی به عنوان تقویت کننده در بخش مرطوب باعث افزایش مقاومت تر [۷] و کاهش قابلیت آبگیری و جذب آب از خمیرکاغذ می‌شود و این تغییرات با افزایش اسیدیته سوسپانسیون تشید می‌شود [۸]. سلولز به عنوان فراوان ترین پلیمر زیستی روی کره زمین و به دلیل دارا بودن خواص جالبی نظیر اثر تقویت کننده‌گی، ارزانی، فراوانی، اینمنی، در دسترس بودن، زیست سازگاری و زیست تخریب پذیری مورد توجه محققان واقع شده است [۹].

سلولز نانوفیبریله شده^۴ (NFC) به الیاف سلولزی فیبریله شده تا حد دسترسی به دستجات میکروفیبریل سلولزی گفته می‌شود که قطرشان در حد نانومتری (کمتر از ۱۰۰ نانومتر) و طولشان چند میکرومتر است. سلولز نانوفیبریله شده، نخستین بار در سال ۱۹۸۲ توسط Turbak و همکارانش با روش همگنسازی

¹ Paper machine runnability

² Bad drainability

³ Nanofibrillated Cellulose

(۴) تیمار ۴ درصد نانو سیلیکا و ۱/۵ درصد نشاسته و ۸ درصد ۴NS+1.5CS نانو سیلیکا و ۱/۵ درصد نشاسته که با کد اختصاری و ۸NS+1.5CS نمایش داده شد.

لذا ۸ تیمار با فرمول‌بندی متفاوت هر کدام با ۱۰ تکرار نمونه ساخته خواهد شد.

جدول (۱): ترکیب تیمارهای مورد بررسی و نیز مقداری مصرف نانوسلولز، نانو سیلیکا و نشاسته کاتیونی

نشاسته کاتیونی	نانو سیلیکا	نانو الیاف سلولزی	خمیر سفید ضایعاتی	کد تیمار	شماره تیمار
۰	-	۴	۹۶	4NC	۱
۰	-	۸	۹۲	8NC	۲
۰	۴	-	۹۶	4NS	۳
۰	۸	-	۹۲	8NS	۴
۱/۵	-	۴	۹۴/۵	4NC+1.5CS	۵
۱/۵	-	۸	۹۰/۵	8NC+1.5CS	۶
۱/۵	۴	-	۹۴/۵	4NS+1.5CS	۷
۱/۵	۸	-	۹۰/۵	8NS+1.5CS	۸

۳-۲- اندازه‌گیری خواص کاغذ

خواص فیزیکی (گراماز، ضخامت، دانسیته، جذب آب، صافی سطح و مقاومت به عبور هوا)، خواص مکانیکی (شاخص مقاومت به کشش، شاخص مقاومت به ترکیدن، شاخص مقاومت به پاره شدن) و خواص نوری (روشنی، سفیدی، ماتی و زردی) کاغذها ساخته شده مطابق با استانداردهای TAPPI، مطابق جدول (۲) اندازه‌گیری شدند.

خواص فیزیکی، مکانیکی و نوری کاغذها که در جدول (۲) خلاصه شده مطابق با استانداردهای ملی و بین‌المللی، اندازه‌گیری شد.

جدول (۲): خواص فیزیکی و مکانیکی مورد آزمون

شماره استاندارد	خواص مورد آزمون	ردیف
TAPPI T410-Om88	گراماز	۱
TAPPI T411-Om89	ضخامت	۲
TAPPI T257 om-98	دانسیته	۳
TAPPI T441 om-96	جذب آب	۴
TAPPI T 555 om-04	صفافی سطح	۵
INSO 1425	مقاومت به عبور هوا	۶
TAPPI T494om-96	شاخص مقاومت به کشش	۷
TAPPI T403om-98	شاخص مقاومت به ترکیدن	۸
TAPPI T414om-98	شاخص مقاومت به پاره شدن	۹
TAPPI T452-OM-98	خواص نوری (روشنی، سفیدی، ماتی و زردی)	۱۰

۲- روش تحقیق

۱-۲- مواد

به منظور تامین خمیر کاغذ سفید، از کارخانه کاغذسازی اترک مقدار ۱۰ کیلوگرم خمیر کاغذ تهیه گردید. خمیرهای حاصله تا غلظت ۱۰-۱۵٪ آب گیری شد و سپس درون کیسه‌های پلاستیکی در بسته قرار گرفته و تا موقع مصرف در داخل یخچال نگهداری شد.

نانو الیاف سلولزی از شرکت نانو نوین پلیمر تهیه شد. نانوسلولز این شرکت با استفاده از نیروهای مکانیکی (مکانیسم بالا به پایین) از طیف وسیعی از مواد اولیه تولید گردید. متوسط قطری نانو مواد کمتر از ۵۰ نانومتر است.

در این تحقیق، پودر نانو سیلیس (NanoSiO₂) تولید شده توسط شرکت Degussa کشور آلمان مورد استفاده قرار گرفت. نشاسته کاتیونی مورد استفاده در این پژوهش دارای pH حدود ۶، درجه استخلاف (D.S.) حدود ۰/۰۳۵ mol/mol، میزان پروتئین ۱/۵ درصد، نیتروژن ۰/۲۵ درصد و رطوبت نیز ۱۰ درصد بر اساس وزن مرطوب بود. برای تهیه محلول نشاسته با غلظت ۰/۵ g/c درصد (یعنی ۰/۵ گرم نشاسته خالص در ۱۰۰ سی سی محلول آب و نشاسته)، مقدار نشاسته ناخالص مورد نیاز با در نظر گرفتن درصد رطوبت تعیین شد. مقدار ناخالص تعیین شده در یک ارلن ریخته و حجم آن با آب مقطر به ۱۰۰ رسید. در حین هم زدن دما درون ارلن با یک دماسنگ کنترل و روی درب ارلن نیز یک ورقه فویل برای جلوگیری از تبخیر آب قرار داده شد. با قرار دادن ارلن روی هیتر در مدت ۳۰ دقیقه دما به آرامی به ۹۰ درجه سانتی گراد رسیده و سپس به مدت ۳۰ دقیقه در این دما نگهداری گردید. محلول نشاسته حاصل هر روز به صورت تازه آماده و مورد مصرف قرار گرفت تا از تغییرات ویسکوزیته و غلظت ناشی از اثرات محیطی جلوگیری شود.

۲-۲- تهیه کاغذهای دست‌ساز

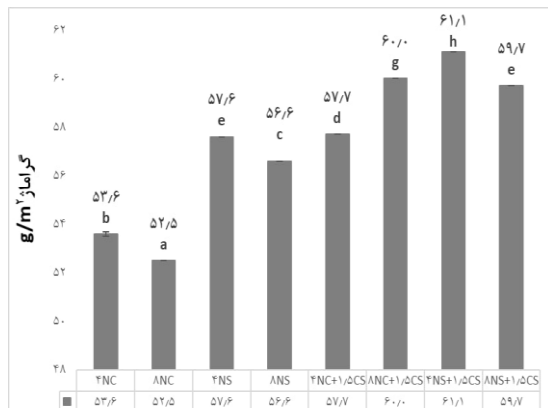
بعد از آماده‌سازی اولیه خمیر کاغذ الیاف بلند و اضافه نمودن نانو سیلیکا، و نشاسته، مطابق جدول ۱، در ۸ تیمار جداگانه و به شرح زیر مورد بررسی قرار گرفت:

(۱) تیمار ۴ درصد نانو الیاف سلولزی، و ۸ درصد نانو الیاف سلولزی که با کد اختصاری 4NC و 8NC نمایش داده شد.

(۲) تیمار ۴ درصد نانو سیلیکا، و ۸ درصد نانو سیلیکا که با کد اختصاری 4NS و 8NS نمایش داده شد.

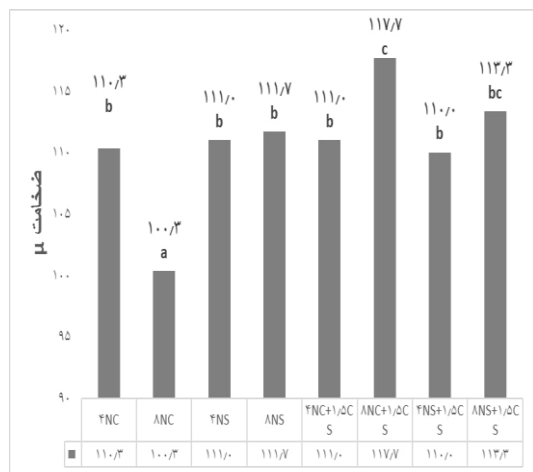
(۳) تیمار ۴ درصد نانو الیاف سلولزی، و ۱/۵ درصد نشاسته و ۸ درصد نانو الیاف سلولزی و ۱/۵ درصد نشاسته که با کد اختصاری 4NC+1.5CS و 8NC+1.5CS نمایش داده شد.

آزمون دانکن، سطوح مختلف مقادیر میانگین گراماژ خمیرکاغذ را در ۸ گروه مختلف قرار داد. همان طوری که در شکل (۱) مشاهده می‌شود بیشترین گراماژ مربوط به ۴ درصد نانوسیلیکا و ۱/۵ درصد نشاسته کاتیونی برابر ۶۱/۱ گرم بر متر مربع و کمترین مقدار آن مربوط به ۸ درصد نانو سلولز برابر ۵۲/۵ گرم بر متر مربع می‌باشد.



شکل (۱): مقایسه میانگین گراماژ کاغذ

آزمون دانکن، سطوح مختلف مقادیر میانگین ضخامت خمیرکاغذ را در ۳ گروه مختلف قرار داد. همان طوری که در شکل (۲) مشاهده می‌شود بیشترین ضخامت مربوط به ۸ درصد نانوسلولز و ۱/۵ درصد نشاسته کاتیونی برابر ۱۱۷/۷ میکرون و کمترین مقدار آن مربوط به ۸ درصد نانو سلولز برابر ۱۰۰/۳ میکرون می‌باشد.



شکل (۲): مقایسه میانگین ضخامت کاغذ

آزمون دانکن، سطوح مختلف مقادیر میانگین دانسیته خمیرکاغذ را در ۵ گروه مختلف قرار داد. همان طوری که در شکل ۳ مشاهده می‌شود بیشترین دانسیته سطح مربوط مربوط به ۴ درصد نانوسیلیکا و ۱/۵ درصد نشاسته کاتیونی برابر ۱/۳۰ گرم بر متر مربع و کمترین مقدار آن مربوط به ۸ درصد نانو سلولز برابر ۱/۳۹ گرم بر متر مربع می‌باشد.

۴-۲- مطالعات میکروسکوپی

تصاویر میکروسکوپی در پژوهشگاه متالورژی رازی از سطح نمونه‌های پوشش داده شده به وسیله دستگاه میکروسکوپ الکترونی گسیل میدانی مدل Mira 3-XMU تهیه گردید. تصاویر با بزرگنمایی μm ۵۰ گرفته شده است.

۵- محاسبات آماری

طرح آزمایشی مورد استفاده در این تحقیق، از نوع کاملاً تصادفی بوده و جهت پردازش نتایج حاصل از اندازه‌گیری‌ها از نرمافزار SPSS (نسخه ۲۳) استفاده شد. بهمنظور تجزیه و تحلیل داده‌ها از تجزیه واریانس یک طرفه و جهت مقایسه میانگین‌ها از آزمون دانکن استفاده شد.

۳- نتایج

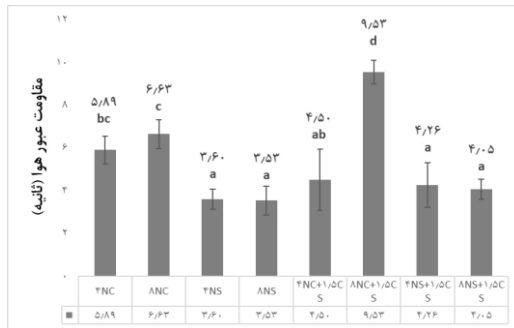
۱-۱- تأثیر متغیرهای ساخت بر خواص فیزیکی و مکانیکی

نتایج آزمون تجزیه واریانس نشان داد که بین مقادیر گراماژ، ضخامت، دانسیته، جذب آب، مقاومت به عبور هوا، شاخص مقاومت کششی، شاخص مقاومت به ترکیدن، شاخص مقاومت به پارگی، روشنی، سفیدی، ماتی و زردی در سطح احتمال ۵٪ از نظر آماری اختلاف معنی‌دار وجود دارد. در حالیکه صافی سطح در سطح احتمال ۵٪ از نظر آماری اختلاف معنی‌دار وجود ندارد (جدول ۳).

جدول (۳): تجزیه واریانس (مقدار F و سطح معنی‌داری) اثر متغیرهای ساخت بر مقاومت‌ها

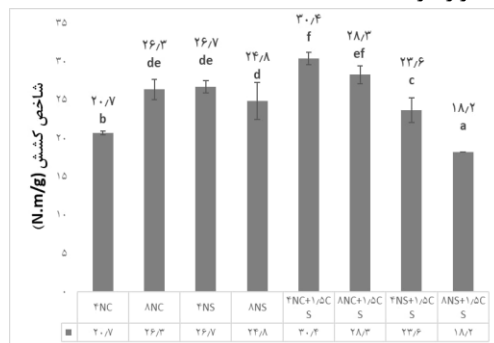
متغیرهای ساخت	مقدار F و سطح معنی‌داری
گراماژ (g/m^2)	*۲۲۶۵/۱۴۳
ضخامت (μm)	*۸/۲۲۲
دانسیته (گرم بر متر مربع)	*۴۷۹۵/۴۲۹
جذب آب (g/m^2)	*۹۴۴/۵۷۱
صفافی سطح (S)	*۵/۹۲۵
عبور هوا (میلی لیتر بر دقیقه)	*۱۲۵/۰۵۳
شاخص مقاومت به کشش (بیوتون متر بر گرم)	*۱۷/۴۹۴
شاخص مقاومت به ترکیدن (کیلوپاسکال مترمربع بر گرم)	*۱۷/۸۲۸
شاخص مقاومت به پاره شدن (میلی بیوتون مترمربع بر گرم)	*۱۹/۲۷۳
روشنی (درصد)	*۱۴/۳۰۰
سفیدی	*۱۱۶۷/۶۱۸
ماتی (درصد)	*۱۴/۶۱۹
زردی (درصد)	*۴۶۶۵۲۲/۹۱۹
سطح معنی‌داری: ns: عدم معنی‌داری	

۸ درصد نانوسلولز و ۱/۵ نشاسته کاتیونی برابر ۹/۵۳ ثانیه می‌باشد.



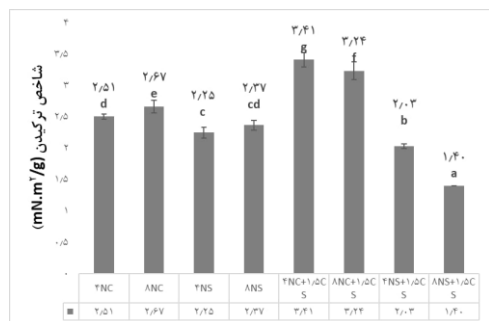
شکل (۶): مقایسه میانگین مقواوی عبور هوا کاغذ

شکل (۷) میانگین تغییرات شاخص مقواوی کششی را برای ۸ نوع خمیر کاغذ را نشان می‌دهد. گروه بندی دانکن میانگین‌های شاخص مقواوی کششی را در ۶ گروه مجزا قرار داد (شکل ۷). بیشترین شاخص مقواوی به کششی مربوط به ۴ درصد نانوسلولز و ۱/۵ درصد نشاسته کاتیونی به مقدار ۳۰/۴ Nm/g بود که در گروه f قرار گرفت.



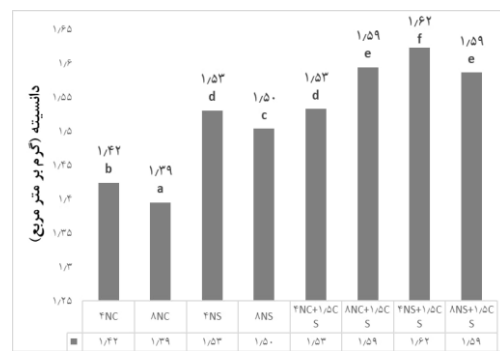
شکل (۷): مقایسه میانگین شاخص مقواوی کششی کاغذ

شکل (۸) میانگین تغییرات شاخص مقواوی به ترکیدن را برای ۸ نوع خمیر کاغذ را نشان می‌دهد. گروه بندی دانکن میانگین‌های داده‌های شاخص مقواوی به ترکیدن تیمارهای فوق را در ۷ گروه قرار داد.



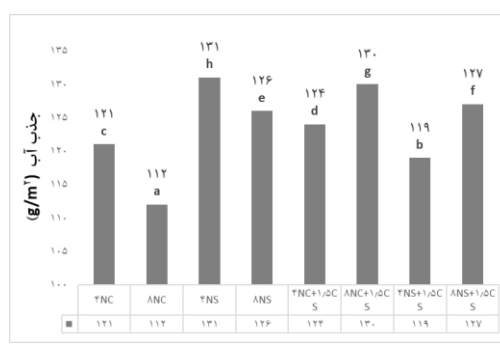
شکل (۸): مقایسه میانگین شاخص مقواوی به ترکیدن کاغذ

شکل (۹) میانگین تغییرات شاخص مقواوی به پارگی را برای ۸ نوع خمیر کاغذ را نشان می‌دهد. گروه بندی دانکن میانگین‌های شاخص مقواوی به پارگی تیمارهای مختلف، را به تفکیک در ۴



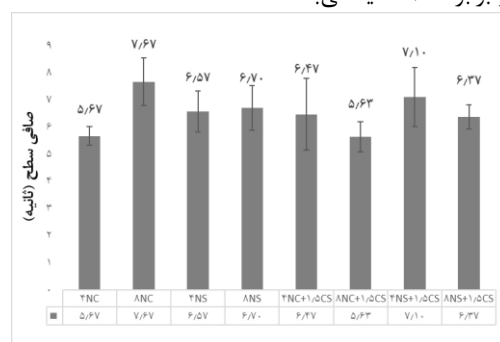
شکل (۳): مقایسه میانگین دانسیته کاغذ

آزمون دانکن، سطوح مختلف مقادیر میانگین جذب آب خمیر کاغذ را در ۸ گروه مختلف قرار داد. همان‌طوری که در شکل ۴ مشاهده می‌شود کمترین جذب آب مربوط به ۸ درصد نانوسلولز برابر ۱۱۲ گرم بر متر مربع و بیشترین مقدار آن مربوط به ۴ درصد نانوسیلیکا برابر ۱۳۱ گرم بر متر مربع می‌باشد.



شکل (۴): مقایسه میانگین جذب آب کاغذ

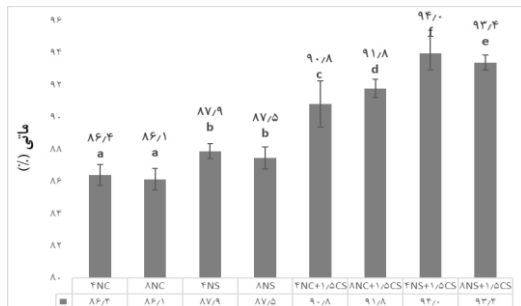
همان‌طوری که در شکل (۵) مشاهده می‌شود کمترین صافی سطح مربوط به ۸ درصد نانوسلولز و ۱/۵ درصد نشاسته کاتیونی برابر ۵/۶۳ ۵/۶۳ ثانیه و بیشترین مقدار آن مربوط به ۸ درصد نانوسلولز برابر ۷/۶۷ ۷/۶۷ ثانیه می‌باشد.



شکل (۵): مقایسه میانگین صافی سطح کاغذ

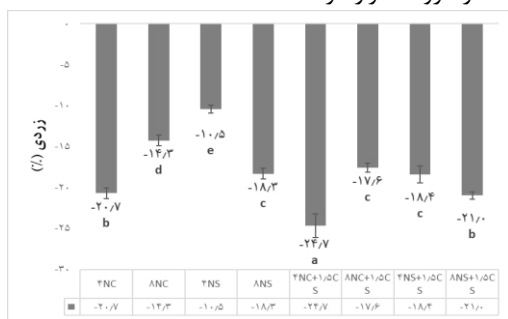
آزمون دانکن، سطوح مختلف مقادیر میانگین مقواوی به عبور هوا خمیر کاغذ را در ۴ گروه مختلف قرار داد. همان‌طوری که در شکل ۶ مشاهده می‌شود کمترین مقواوی به عبور هوا مربوط به ۸ درصد نانوسیلیکا برابر ۳/۵۳ ۳/۵۳ ثانیه و بیشترین مقدار آن مربوط به

نانوسیلیکا و ۴ درصد نانو سیلیکا و ۱/۵ درصد نشاسته کاتیونی به مقدار ۹۴/۰ درصد بود که در گروه f قرار گرفت.



شکل (۱۲): مقایسه میانگین ماتی کاغذ

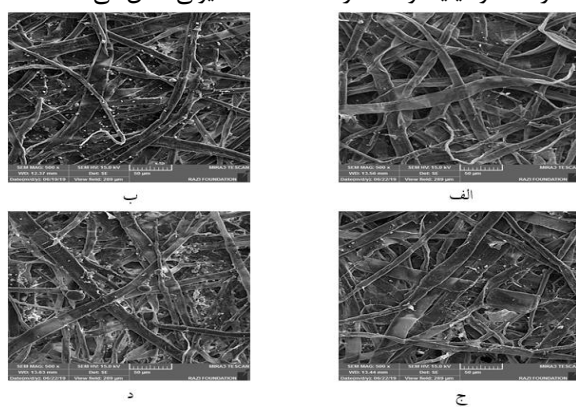
شکل (۱۳) میانگین تغییرات زردی را برای ۸ نوع خمیر کاغذ را نشان می‌دهد. گروه بندی دانکن میانگین‌های زردی را در ۵ گروه مجزا قرار داد (شکل ۱۳). بیشترین زردی مربوط به ۴ درصد نانوسولولز و ۱/۵ درصد نشاسته کاتیونی به مقدار ۲۴/۷-۲۴/۷ درصد بود که در گروه a قرار گرفت.



شکل (۱۳): مقایسه میانگین زردی کاغذ

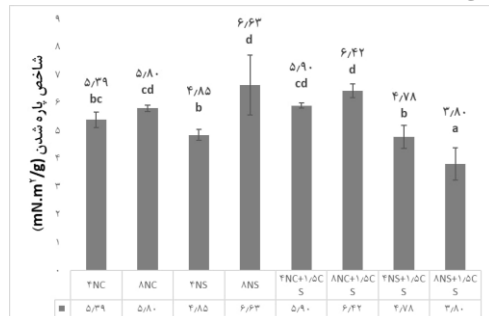
۲-۳- مطالعات میکروسکوپی ساختار کاغذ (SEM)

شکل (۱۴) ریزنگار میکروسکوپ نشر میدانی FE-SEM را برای خمیر سفید ضایعاتی (الف)، ۸ درصد نانوسولولز (ب)، ۸ درصد نانوسیلیکا (ج)، ۸ درصد نانوسولولز و ۱/۵ درصد نشاسته کاتیونی (د) ۸ درصد نانوسیلیکا و ۱/۵ درصد نشاسته کاتیونی نشان می‌دهد.



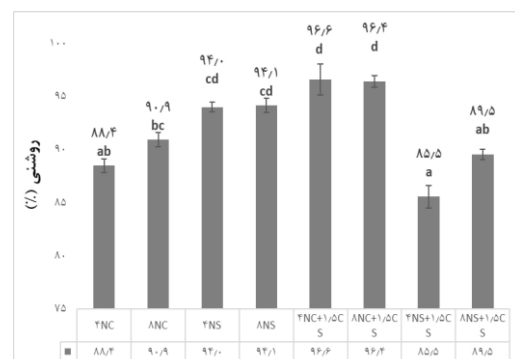
شکل (۱۴): سطح کاغذ حاصل از خمیر کاغذ، (الف)، ۸ درصد نانوسولولز (ب)، ۸ درصد نانوسیلیکا (ج)، ۸ درصد نانوسولولز و ۱/۵ درصد نشاسته کاتیونی (د) ۸ درصد نانوسیلیکا و ۱/۵ درصد نشاسته کاتیونی

گروه مجزا قرار داد (شکل ۹). بیشترین مقاومت به پارگی که در گروه d قرار دارد مربوط به ۸ درصد نانو سیلیکا است، همچنین ۸ درصد نانوسیلیکا و ۱/۵ درصد نشاسته کاتیونی کمترین مقاومت به پارگی را ایجاد کرده است.



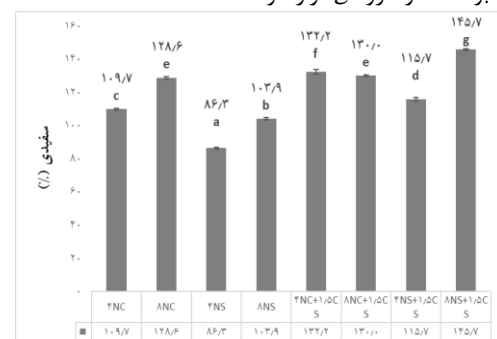
شکل (۹): مقایسه میانگین ساختخ مقاومت به پاره شدن کاغذ

شکل (۱۰) میانگین تغییرات روشنی را برای ۸ نوع خمیر کاغذ را نشان می‌دهد. بیشترین روشنی مربوط به ۴ درصد نانوسولولز و ۱/۵ درصد نشاسته کاتیونی به مقدار ۹۶/۶ درصد بود.



شکل (۱۰): مقایسه میانگین روشنی کاغذ

شکل (۱۱) میانگین تغییرات سفیدی را برای ۸ نوع خمیر کاغذ را نشان می‌دهد. گروه بندی دانکن میانگین‌های سفیدی را در ۷ گروه مجزا قرار داد (شکل ۱۱). بیشترین سفیدی مربوط به ۸ درصد نانوسیلیکا و ۱/۵ درصد نشاسته کاتیونی به مقدار ۱۴۵/۷ درصد بود که در گروه g قرار گرفت.



شکل (۱۱): مقایسه میانگین سفیدی کاغذ

شکل (۱۲) میانگین تغییرات ماتی را برای ۸ نوع خمیر کاغذ را نشان می‌دهد. گروه بندی دانکن میانگین‌های ماتی را در ۶ گروه مجزا قرار داد (شکل ۱۲). بیشترین ماتی مربوط به ۶ درصد

دلیل جذب موثر نشاسته کاتیونی در شبکه الیاف مقاومت به عبور هوافراش یافته است و میتوان منشا آن را به بار مثبت نشاسته کاتیونی و تمایل شدید آن به جذب شدن بر روی سطح منفی الیاف و بهبود اتصال بین الیاف نسبت داد. علاوه بر این بر اثر کوچک تر شدن ابعاد نانوالیاف سلولزی سطح ویره فیرهای سلولزی افزایش می‌یابد. این به معنی قرار گرفتن تعداد بیشتر گروههای در دسترس هیدروکسیل در سطح نانو فیرهایست که توانایی تشکیل پیوند هیدروژنی را با نانوفیرهای مجاور دارند و نهایتاً سبب تشکیل شبکه ای از نانو فیرهای می‌شوند [۲۰]. که موجب افزایش این مقاومت به عبور هوای گرد. Hii و همکاران [۲۱] در تصاویر میکروسکوپ الکترونی نشان داده اند که نانو الیاف سلولزی به اتصال بین پرکننده و ذرات ریز الیاف کمک کرده و باعث کاهش تخلخل در کاغذ و همچنین افزایش مقاومت در مقابل عبور هوای اتصال داخلی بهتر در ورق کاغذ می‌گردد.

صفی سطح کاغذ از ویژگی‌های مهم ساختاری آن است که در بسیاری از کاربردها بخصوص برای چاپ پذیری بهتر و کیفیت بیشتر چاپ از اهمیت قابل ملاحظه ای برخوردار است [۲۲]. این ویژگی بسیار متأثر از میانگین طول الیاف سلولزی و وجود نرم‌های سلولزی و ثبتیت انها در شبکه کاغذ و کیفیت شکل گیری آن است، از این رو در یک ترکیب مشخص به نوعی عملکرد مواد افزودنی را در سوسپانسیون خمیر کاغذ مشخص می‌کند. برای مثال، دلمه شدن ذرات ریز الیاف سلولزی میتواند باعث بهبود صافی سطح کاغذ شود [۲۳].

مقاومت مکانیکی کاغذ ویژگی مهمی است زیرا کاغذ اغلب تحت شرایط تنفسی استفاده می‌شود. آزمون‌های مقاومتی زیادی برای کاغذهای ساخته شده وجود دارد که مهمترین آنها مقاومت به کشش، ترکیدن، پاره شدن، مقاومت به خرد شدن در حالت کنگره‌ای و مقاومت به لهشدگی حلقه‌ای است هیچ کدام از این خصیت‌ها بینیادی نیستند اما ترکیبی از آنها شامل انعطاف‌پذیری، مقاومت پیوندهای بین الیاف و مقاومت ذاتی الیاف، خصیت بینیادی هستند. کلیه مقاومت‌های کاغذ به نوع الیاف، طول الیاف، ضخامت الیاف، انعطاف‌پذیری الیاف، شبکه الیاف، تعداد اتصالات، وزن کاغذ، دانسیتی و ... بستگی دارد [۲۴].

مقاومت به کشش شاخص مناسبی برای تمام پیوندهای بین الیاف است که در واقع ترکیبی از سایر مقاومتها است. مقاومت به کشش شاخصی از دوام پتانسیل کشش کاغذی می‌باشد که در اثر نوع مصرف تحت تنفس کششی قرار می‌گیرد مهمترین فاکتور موثر بر مقاومت به کشش کاغذ، تعداد و کیفیت اتصال الیاف به یکدیگر می‌باشد. افزایش اتصال الیاف به یکدیگر در اثر افزایش پالایش یا پرس مرطوب و... مقاومت به کشش کاغذ را افزایش خواهد داد. با این حال مقاومت به کشش کاغذ همیشه کمتر از

۴- بحث و نتیجه گیری

دانسیتیه یکی از مهمترین خواص کاغذ است که تقریباً روی تمام خواص مکانیکی، فیزیکی و الکتریکی کاغذ تاثیر می‌گذارد [۱۳]. متغیرهای فرایند تولید کاغذ بر تغییرات دانسیتیه ظاهری اثر می‌گذارند. در مورد کاغذهای بسته بندی دانسیتیه بالا نامناسب تلقی می‌شود، چرا که منجر به کاهش سفتی خمشی شده و در فرایندهای تبدیلی کنگره سازی نیز منجر به پارگی در هنگام خیس شدن می‌شود [۱۴]. لازم به ذکر است که افزایش دانسیتیه در ورقه در حال شکل گیری کاغذ، به انتقال مطلوب تر و بهینه در خشک کن نیز کمک می‌کند [۱۴]. به طور کلی، با افزایش آبدوستی، تورم و انعطاف پذیری الیاف که در اثر پالایش یا جذب پلی‌الکترولیتیهای آبدوست روی میدهد، دانسیتیه آن در گراماژ ثابت افزایش می‌یابد [۱۵]. با تیمار خمیر کاغذ با نانوسیلیکا و نشاسته کاتیونی، دانسیتیه افزایش یافت که علت اصلی آن جذب نشاسته و توسعه پیوندهای بین فیبری و نیز جایگزینی پیوندها با انسرژی قویتر همانند پیوندهای الکترواستاتیک با پیوندهای هیدروژنی است [۱۶]. در نتیجه کاغذ متراکم تر شده است، اما نانوسلولز نتوانسته مانند نانوسیلیکا پیوند بین فیبری الیاف را به دلیل داشتن بار سطحی منفی افزایش دهد.

کاربرد نانو الیاف نیز ارتقای دانسیتیه را به همراه داشته، لیکن افزایش مصرف آن از میزان دانسیتیه کاسته و کاغذی حجمی تر را ارائه نموده است. کاربرد همزمان نانو الیاف سلولزی و نشاسته کاتیونی، غالباً افزایش تراکم و دانسیتیه کاغذ را به همراه داشته که حکایت از افزایش ماندگاری اجرا در شبکه شکل یافته است.

یکی از ویژگیهای مهم کاغذ توانایی آن در کنترل نفوذ مایع می‌باشد [۱۷]. نتایج حاصل از اندازه‌گیری انجام شده در این تحقیق نشان می‌دهد که هنگام استفاده از ۸ درصد نانوالیاف سلولزی جذب آب کاغذ کاهش یافته است، به دلیل اینکه نانوالیاف سلولزی دارای جرم مولکولی بالاتر و گرانروی بیشتر است، بنابراین سرعت نفوذ آب به درون کاغذ را کاهش می‌دهد، به طوریکه کاهش جذب آب کاغذ می‌تواند ویژگی چاپ‌پذیری را بهبود می‌بخشد [۱۸].

تخلخل غیرمستقیم نشان دهنده ساختمن داخلى ساختار کاغذ بوده که تحت تأثیر کیفیت شکل گیری کاغذ و چگونگی توزیع الیاف، نرم‌های الیاف و مواد پرکننده قرار می‌گیرد و به نوعی عملکرد مواد کمک نگه دارنده در ایجاد لخته ها و چگونگی پراکنش آنان را نشان می‌دهد. عموماً با بهبود کیفیت شکل گیری کاغذ، مقدار تخلخل کاغذ کاهش می‌یابد [۱۹].

قابلیت نفوذ هوا در کاغذ میتواند از بسیاری جهات دارای اهمیت باشد از جمله: ارتباط با خواص مقاومتی و خواص ظاهری و نیازمندیهای مصرف نهایی شامل انواع کاغذهای بسته بندی. به

خوب و بالایی با سطح الیاف سلولزی دارد، در نتیجه برقراری اتصالات کوالانسی آمیدی یونی و هیدروژنی تسهیل می‌گردد [۲۶]. Ashori (۲۰۰۶) نیز گزارش نمود که پلیمر کاتیونی به واسطه چگالی بار مثبت به راحتی میتواند با الیاف سلولزی پیوند ایجاد کرده و سبب بهبود ویژگیهای مقاومت شود [۲۶].

مقاومت به پارگی از جمله پارامترهای مورد ارزیابی کیفی کاغذ و مقوا، به ویژه در کاربردهای بسته بندی است. عوامل اصلی تاثیرگذار در این مقاومت شامل میانگین طول و قطر الیاف و نیز مقاومت ذاتی الیاف بکار رفته در تولید کاغذ است که میزان پیوندیابی اجزا و نیز جهت یافتنگی آنها در ساختار کاغذ نیز تاثیرگذار است. در خمیرکاغذهای با میزان پیوندیابی زیاد، ویژگیهای ذاتی الیاف عامل تعین کننده بوده و بنابراین میانگین بلندتر طول و ضخامت بیشتر الیاف، مقاومت به پاره شدن مناسب تری را ارائه میدهد.

مقاومت به پارگی تحت عوامل بسیاری قرار دارد که نتایج محققان حاکی از آن است که مقاومت به پارگی بیشتر تحت تاثیر میانگین طول الیاف، سطح پیوند هیدروژنی و مقاومت ذاتی الیاف قرار دارد. با افزایش نانو الیاف لیگنوسلولزی میانگین طول الیاف کاهش و سطح پیوند هیدروژنی افزایش می‌یابد که مقاومت به پارگی دچار نوساناتی می‌شود. به طور کلی با افزایش مقادیر بیشتر نانو سلولز به دلیل افزایش سطح پیوند هیدروژنی مقاومت به پارگی افزایش می‌یابد [۷ و ۲۴]. در گزارشی کاهش مقاومت به پاره شدن در کاغذهای ترکیبی CMP و نانو فیبر سلولز گزارش شده است. در آن گزارش تغییرات در دو عامل مقاومت ذاتی الیاف و سطح پیوند هیدروژنی دلیل تغییرات و شدت این تغییرات در مقاومت به پارگی معرفی شده‌اند. در توجیه رفتار مقاومت به پاره شدن کاغذهای ترکیبی این-طور استدلال می‌شود که نانو الیاف لیگنوسلولزی با افزایش سطح پیوند بین کاغذها موجب افزایش مقاومت می‌شود. از سوی دیگر افزودن نانو الیاف لیگنوسلولزی و استقرار آن در بین الیاف و ایجاد ممانعت در پیوند مستقیم الیاف با هم موجب افزایش مقاومت شبکه الیاف نسبت به تنفس پارگی می‌شود [۲۷]. افزودن نشاسته کاتیونی به دلیل نگه داشتن نرم‌های افزایش پیوندها شاخص مقاومت به پارگی کاغذ را بهبود می‌دهد. هادیلام و همکاران گزارش داده‌اند که با افزودن نانو الیاف سلولزی، مقاومت به پارگی کاغذها کاهش می‌یابد؛ به طوری که کمترین مقاومت به پارگی در نانو کاغذ مشاهده شد.

افزایش مقاومت در برخی کاغذها بدلیل حضور نشاسته کاتیونی به این دلیل است که حضور عوامل کاتیونی سبب توزیع یکنواخت تر نانو الیاف لیگنوسلولزی در شبکه کاغذ و پراکنش یکنواخت تنفس در اثر اعمال نیرو می‌شود [۲۸].

درجه روشنی و مانع کاغذ تابع ویژگی‌های نوری خمیرهای سازنده کاغذ و مقدار و نحوه پراکنش مواد پرکننده در کاغذ است.

مقاومت به کشش یک فیبر خواهد بود [۲۳]. مقاومت به کشش در جهت ماشین همیشه بیشتر از جهت عرضی است، زیرا الیاف در جهت طولی بیشتر از جهت عرضی هم راستا می‌شوند. در راستای^۱ MD در واقع دو دسته اتصالات مورد کشش قرار می‌گیرند: پیوندهای کوالانسی C-C، O-C (C-O-C) درون و بین گلوکزهای موجود در زنجیره‌های سلولز و پیوندهای هیدروژنی بین الیاف. به طور کلی در جهت MD تعداد بیشتری پیوندهای کوالانسی و در جهت^۲ CD تعداد کمتری پیوند های کوالانسی وجود دارد [۲۴]. در کاغذهای دست ساز به دلیل اینکه الیاف به طور تصادفی و در راستاهای مختلف قرار می‌گیرند جهت طولی و عرضی مفهومی ندارد.

بر اثر کوچک تر شدن ابعاد نانو الیاف سلولزی سطح ویژه فیبرهای سلولزی افزایش می‌یابد. این به معنی قرار گرفتن تعداد بیشتر گروههای در دسترس هیدروکسیل در سطح نانو فیبرهای فیبرهای توانایی تشکیل پیوند هیدروژنی را با نانوفیبرهای مجاور دارند و نهایتاً سبب تشکیل شبکه ای از نانو فیبرها می‌شوند [۲۰]، که موجب افزایش این مقاومت می‌گردد. رضایتی و همکاران، اقدام به استفاده از نانو الیاف سلولزی در ساخت کاغذ نموده و گزارش دادند که استفاده از حدود ۶ درصد نانو الیاف سلولزی بهبود مقاومت کششی معادل استفاده از ۲۰ درصد خمیرکاغذ الیاف بلند در ساخت کاغذ از خمیرکاغذ کرافت پهنه برگان فراهم می‌سازد [۲۵].

کاهش مقاومت به کشش با افزایش نانوسیلیکا را میتوان چنین استدلال نمود که حضور نانوسیلیکا امکان پیوندیابی بیشتر را فراهم نمی‌کند، و باعث کاهش مقاومت می‌شود.

به طور کلی نتایج حاکی از این است که نانو الیاف سلولز با استفاده از نشاسته کاتیونی و بواسطه ضربه لاغری بسیار بالا و درگیری فیزیکی بین نانو الیاف با یکدیگر و نانو الیاف با الیاف در ساختار کاغذ باقی مانده و موجب افزایش مقاومت به ترکیدن می‌شود. نانو الیاف به دلیل سطح ویژه بالا و ایجاد درگیری فیزیکی بین نانو الیاف و الیاف باگاس سبب افزایش تعداد پیوند هیدروژنی و افزایش سطح پیوند بین الیاف و کاهش فضای خالی بین الیاف می‌شود که افزایش پیوند بین الیاف می‌توان قدرت شبکه‌ای الیاف را افزایش دهد و با افزایش پیوند مانع از لغزش الیاف شود و به استحکام شبکه لیفی منجر شود [۷ و ۲۴].

نشاسته کاتیونی با دارایی بودن گروههای آمینی و نیز فراوانی گروههای هیدروکسیلی، از توانایی ایجاد اتصال هیدروژنی، یونی و کوالانسی با سطوح الیاف سلولزی بروخوردار است. از آنجاییکه نشاسته کاتیونی ساختاری شبیه سلولز دارد، سازگاری و تمایل

^۱ Machine Direction

^۲ Croos Direction

۶. درصد نانوسیلیکا و ۱/۵ درصد نشاسته کاتیونی به ترتیب دارای ۱۰/۱، ۱۳/۱، ۱/۵، ۱۰/۸، ۹/۹ و ۷۵/۲ درصد جذب آب، شاخص مقاومت به کشش، شاخص مقاومت به ترکیدن، شاخص مقاومت به پاره شدن، روشنی و زردی کمتر نسبت به ۴ درصد نانوسیلیکا است.

۷. درصد نانوسیلیکا و ۱/۵ درصد نشاسته کاتیونی به ترتیب دارای ۱، ۱۴/۷ و ۶/۷ درصد جذب آب، مقاومت به عبور هوا، سفیدی و ماتی بیشتر نسبت به ۸ درصد نانوسیلیکا است.

۸. درصد نانوسیلیکا و ۱/۵ درصد نشاسته کاتیونی به ترتیب دارای ۵/۲، ۳۶/۳، ۵/۱، ۷۴/۵، ۶۹/۳ و ۱۴/۸ درصد صافی سطح، شاخص مقاومت به کشش، شاخص مقاومت به ترکیدن، شاخص مقاومت به پاره شدن، روشنی و زردی کمتر نسبت به ۸ درصد نانوسیلیکا است.

استفاده از نشاسته کاتیونی برای بهبود خواص مختلف کاغذهای بازیافتی تهیه شده از آخال سفید می‌تواند ضمن ایجاد ارزش افزوده، مزایای مختلفی را به همراه داشته باشد. با توجه به این که آخال مصرفی در کارخانه اترک به دلیل عدم وجود **سامانه جوهرزدایی**، همواره دارای مقادیری از ذرات ریز جوهر است، شاید برخی کاهش خواص کاغذهای دستساز را بتوان به این علت دانست. استفاده از نانوسلولز و نانوسیلیکا برای بهبود خواص کاغذهای بازیافتی می‌تواند ضمن ایجاد ارزش افزوده، مزایای مختلف فنی، اقتصادی و زیستمحیطی را نیز به همراه داشته باشد. با ارتقای ویژگی‌های کاغذهای بسته‌بندی از طریق این افزودنی‌ها طبق نتایج این تحقیق، ارزش افزوده محصول بهبود می‌یابد و می‌توان از آن در تهیه کارتنهای صادراتی استفاده نمود.

۵- مراجع

- [1] M. A. Hubbe, R. A. Venditti and O. J. Rojas, "What happens to cellulosic fibers during Papermaking and recycling? A review," *BioResources*, vol. 2(4), pp 739-788, 2007.
- [2] Y. Miao, S. Xiang, Y. Wei, X. Long, J. Qiu, J. and Y. Miao, "Physical Properties of Pulp and Paper: A Comparison of Forming Procedures," *Forest Products Journal*, vol. 73(2), pp 175-185, 2023. DOI: <https://doi.org/10.13073/FPJ-D-23-00007>
- [3] P. K. Bajpai, "Solving the problems of recycled fiber processing with enzymes," *BioResources*, vol. 5(2), pp. 1311-1325, 2010.
- [4] M. A. Hubbe, and R. A. Gill, "Fillers for papermaking: a review of their properties, usage practices, and their mechanistic role," *BioResources*, vol. 11(1), pp 2886-2963, 2016. DOI: 10.1537/biores.11.1.2886-2963
- [5] V. D. Ramos, H. M. Da Costa, V. L. Soares, and R. S. Nascimento, "Modification of epoxy resin: a comparison of different types of elastomer," *Polymer Testing*, vol. 24(3), pp 387-394, 2005. DOI: <https://www.sciencedirect.com/science/article/abs/pii/S0142941804001436>
- [6] R. Albala, D. Olmos, A. J. Aznar, J. Baselga, and J. Gonzalez-Benito, "Fluorescent labels to study thermal transitions in epoxy/silica composites," *Journal of colloid and interface science*, vol. 277(1), pp 71-78. 2004. DOI: <https://pubmed.ncbi.nlm.nih.gov/15276040/>

با افزودن نانوآلیاف سلولزی و نشاسته کاتیونی و دچار تغییراتی شد. روند تغییرات در روشنی، سفیدی، ماتی و زردی نامشخص است، بطوریکه گاهی افزایش و گاهی کاهش یافت. در اثر کاربرد نano الیاف سلولزی درجه روشنی درجه روشنی و اثر کاربرد نano الیاف سلولز - نشاسته کاتیونی درجه روشنی و سفیدی افزایش یافت. نانوآلیاف سلولز به دلیل افزایش پیوندپذیری سبب پر شدن فضای خالی بین الیاف میشود. مقدار زردی به طور کلی با افزایش درصد نano الیاف کاهش پیدا کرد. گروه های کاتیونی سبب ثبت عوامل رنگی در کاغذ میشوند که این امر به افزایش روشنی، و ماتی در کاغذ می‌انجامد. اضافه نمودن نano سلولز به خمیرها باعث کاهش درجه روشنی شد.

تصویر میکروسکوپ الکترونی شان داد افزودن نano الیاف سلولز و نانوسیلیکا و ترکیب این مواد با نشاسته کاتیونی سبب افزایش پیوندپذیری، تراکم بیشتر الیاف، پرشدن فضای خالی بین الیاف و ماندگاری بیشتر نرمه ها شده است.

نتایج این تحقیق حاکی از موفقیت در به کارگیری نano الیاف سلولزی است [۲۹]. هر چند افزودن نano الیاف سلولزی و الیاف بلند وارداتی اختلاف معنی داری نداشته ولی از آنجاییکه منجر به کاهش واردات می‌گردد می‌تواند حائز اهمیت باشد.

به طور کلی این نتایج در این تحقیق حاصل گردید:

۱. درصد نانوآلیاف سلولزی و ۱/۵ درصد نشاسته کاتیونی به ترتیب دارای ۲/۵، ۱۴/۱، ۵/۱، ۳۵/۹، ۴۶/۹ و ۵/۱ درصد جذب آب، صافی سطح، شاخص مقاومت به کشش، شاخص مقاومت به ترکیدن، شاخص مقاومت به پاره شدن، روشنی، سفیدی و ماتی بیشتر نسبت به ۴ درصد نانوآلیاف سلولزی است.

۲. درصد نانوآلیاف سلولزی و ۱/۵ درصد نشاسته کاتیونی به ترتیب دارای ۱۹/۳، ۳۰/۹ درصد مقاومت به عبور هوا، و زردی کمتر نسبت به ۴ درصد نانوآلیاف سلولزی است.

۳. درصد نانوآلیاف سلولزی و ۱/۵ درصد نشاسته کاتیونی به ترتیب دارای ۱۶/۱، ۱۶/۷، ۷/۶، ۴۳/۷، ۱۰/۷، ۲۱/۳، ۶/۱، ۱/۱ درصد جذب آب، مقاومت به عبور هوا، شاخص مقاومت به کشش، شاخص مقاومت به ترکیدن، شاخص مقاومت به پاره شدن، روشنی، سفیدی و ماتی بیشتر نسبت به ۸ درصد نانوآلیاف سلولزی است.

۴. درصد نانوآلیاف سلولزی و ۱/۵ درصد نشاسته کاتیونی به ترتیب دارای ۳۶/۲ و ۲۳/۱ درصد صافی سطح، و زردی کمتر نسبت به ۴ درصد نانوآلیاف سلولزی است.

۵. درصد نانوسیلیکا و ۱/۵ درصد نشاسته کاتیونی به ترتیب دارای ۲۴/۱، ۱۸/۳، ۶/۹ درصد صافی سطح، سفیدی و ماتی بیشتر نسبت به ۴ درصد نانوسیلیکا است.

- [19] G., Asadpour, H., Resalati, M. R., Dehghani, A. Ghasemian, and M., Mohammad Nazhad, "Comparison of using single and dual retention aid system on newspaper pulp properties," *Wood and Forest Science and Technology*, vol. 22(2), pp 75-93, 2015. (In Persian).
- [20] H., Yousefi, M., Faezipour, T., Nishino, A., Shakeri, and G. Ebrahimi, "All-cellulose composite and nanocomposite made from partially dissolved micro-and nanofibers of canola straw," *Polymer Journal*, vol. 43(6), pp 559-564, 2011. DOI: <https://www.nature.com/articles/pj201131>
- [21] C., Hii, Ø. W., Gregersen, G., Chinga-Carrasco, and Ø. Eriksen, "The effect of MFC on the pressability and paper properties of TMP and GCC based sheets," *Nordic Pulp & Paper Research Journal*, vol. 27(2), pp 388-396. 2012. DOI: <https://www.degruyter.com/document/doi/10.3183/npprj-2012-27-02-p388-396/pdf>
- [22] Y. Hamzeh, and A., Rostampour-Haftkhani, "Principles of Papermaking Chemistry," University of Tehran Press, Tehran, Iran. 2008. (In Persian).
- [23] S. Elyasi, H. Jalali-Torshizi, and H. Resalati, "Investigation on the effect of different levels of alum consumption in alun-rosin sizing on the properties of plywood," *Journal of forest and wood products*, vol. 69(2), pp 375-385, 2015. (In Persian).
- [24] M. Tajik, H. Resalati, Y. Hamzeh, H. J. Torshizi, H. Kermanian, and B. Kord, "Improving the properties of soda bagasse pulp by using cellulose nanofibers in the presence of cationic polyacrylamide," *BioResources*, vol. 11(4), pp 9126-9141, 2016. DOI: 10.15376/biores.11.4.9126-9141
- [25] P. Rezayati Charani, M. Dehghani-Firouzabadi, E. Afra, Å. Blademo, A. Naderi, and T. Lindström, "Production of microfibrillated cellulose from unbleached kraft pulp of Kenaf and Scotch Pine and its effect on the properties of hardwood kraft: microfibrillated cellulose paper," *Cellulose*, vol. 20, pp 2559-2567. 2013. DOI: <https://link.springer.com/article/10.1007/s10570-013-9998-z>
- [26] A. M. A. Nada, M. El-Sakhawy, S. Kamel, M. A. M. Eid, and A. M. Adel, "Effect of chitosan and its derivatives on the mechanical and electrical properties of paper sheets," *Egyptian journal of solids*, vol. 28(2), pp 359-377. 2005. DOI: https://www.e3s-conferences.org/articles/e3sconf/abs/2023/08/e3sconf_afe2023_01045/e3sconf_afe2023_01045.html
- [27] S. Alinia, "Comparative study on the properties of paper produced from chemimechanical pulp (CMP) reinforced with Nanofibrillated Cellulose (NFC) and Microcrystalline Cellulose (MCC) (M.Sc. thesis. Gorgan University of Agricultural Sciences and Natural Resources). 2011. (In Persian).
- [28] M. Delgado-Aguilar, I. González, M. A. Pèlach, De La E. Fuente, C. Negro, and P. Mutjé, "Improvement of deinked old newspaper/old magazine pulp suspensions by means of nanofibrillated cellulose addition," *Cellulose*, vol. 22, pp 789-802, 2015. DOI: <https://doi.org/10.1007/s10570-014-0473-2>
- [29] M. H. Moradian, P. Rezayati Charani, and M. Saadat Niya, "Improving paper breaking length using cellulosic nanofibers in bagasse pulp," *Forest and Wood Products*, vol. 69(3), pp 603-614. 2016. (In Persian).
- [7] E. A. Hassan, M. L. Hassan, and K. Oksman, "Improvement of paper sheets properties of bagasse pulp with microfibrillated cellulose isolated from xylanase treated bagasse," *Wood and Fiber Science*, vol. 43(1), pp 1-7. 2011.
- [8] T. Taipale, M. Österberg, A. Nykänen, J. Ruokolainen, and J. Laine, "Effect of microfibrillated cellulose and fines on the drainage of kraft pulp suspension and paper strength," *Cellulose*, vol. 17, pp 1005-1020. 2010. DOI: <https://link.springer.com/article/10.1007/s10570-010-9431-9>
- [9] N. Motie, M. Jonooobi, M. Fazei Pour, M. M. Mahboobian, and S. Borzacchiello, "Nanocellulose based biohydrogel: Preparation and characterization of some properties," *Iranian Journal of Wood and Paper Industries*, vol. 9(4), pp 497-509. 2019. (In Persian).
- [10] L. Brinchi, F. Cotana, E. Fortunati, and J. M. Kenny, "Production of nanocrystalline cellulose from lignocellulosic biomass: technology and applications," *Carbohydrate polymers*, vol. 94(1), pp 154-169. 2013. DOI: <https://www.sciencedirect.com/science/article/abs/pii/S0144861713000490>
- [11] I. Siró, and D. Plackett, "Microfibrillated cellulose and new nanocomposite materials: a review," *Cellulose*, vol. 17, pp. 459-494. 2010. DOI: <https://link.springer.com/article/10.1007/s10570-010-9405-y>
- [12] H. Fukuzumi, T. Saito, T. Iwata, Y. Kumamoto, and A. Isogai, "Transparent and high gas barrier films of cellulose nanofibers prepared by TEMPO-mediated oxidation," *Biomacromolecules*, vol. 10(1), pp 162-165. 2009. DOI: <https://pubs.acs.org/doi/10.1021/bm801065u>
- [13] M. Goli, M. Zabihzadeh, S. Mahdavi, and H. Sadeghifar, "The effect of TCF bleaching before and after refining on the CMP pulp properties," *Iranian Journal of Wood and Paper Science Research*, vol. 31(3), pp 510-521, 2016. (In Persian).
- [14] J. Gullichsen, H. Paulapuro, and L. Neimo, Book 4 Papermaking Chemistry.
- [15] H. Davodian, G. Asadpour, and S. M. Zabihzadeh, "Effect of using dual composition of cationic starch-nano silica and nano cellulose-poly acrylamide on physical and strength properties of cotton papers," *Iranian Journal of Wood and Paper Science Research*, vol. 33(3), pp 428-437, (2018). (In Persian).
- [16] A. Ashori, "Pulp and paper from kenaf bast fibers," *Fibers and Polymers*, vol. 7, pp 26-29, 2006.
- [17] A. Ashori, and W. D. Raverty, "Printability of sized kenaf (*Hibiscus cannabinus*) papers," *Polymer-Plastics Technology and Engineering*, vol. 46(7), pp 683-687. 2007. DOI: <https://www.tandfonline.com/doi/abs/10.1080/03602550701429250>
- [18] A. Ashori, W. D. Raverty, and J. Harun, "Effect of chitosan addition on the surface properties of kenaf (*Hibiscus cannabinus*) paper," *Fibers and Polymers*, vol. 6, pp 174-179. 2005. DOI: <https://link.springer.com/article/10.1007/BF02875611>